

тогда для определения следующего приближения $f_2(x)$ имеем

$$-2\alpha f_2(x) = \left[f_2''(x) + \frac{1}{2} (f_1')^2 \right] e^{\theta_0}.$$

Данные соотношения приводят к асимптотике

$$\theta = \theta_0 + e^{-\alpha t} [f_1(x) + O(e^{-\alpha t})].$$

Итак, групповая классификация решений уравнений влагопереноса в одномерном случае позволяет найти взаимосвязи коэффициента влагопереноса с влажностью и основной гидрофизической зависимостью, порождающие инвариантные решения. Эти решения приводят к экспоненциальному во времени расходу воды, что отвечает эксперименту. На указанные взаимосвязи не влияет вид основной гидрофизической зависимости, который, несомненно, меняется от грунта к грунту.

Полученные результаты могут служить указателем направления дальнейшего экспериментального и теоретического изучения для нахождения замкнутого феноменологического описания процессов влагопереноса. Актуальным является исследование многомерных решений, в частности, с учетом силы тяжести. В одномерном случае вертикального течения необходимые условия расширения группы при $\delta \neq \text{const}$ такие же, как и в таблице.

ЛИТЕРАТУРА

1. Овсянников Л. В. Групповые свойства дифференциальных уравнений. — Новосибирск, 1962.
2. Дзекунов Н. Е., Солопенко В. М., Файбшпенко Б. А. Обоснование экспресс-метода определения параметров влагопереноса в пористых средах. — ДАН УССР. Сер. А, 1984, № 7.
3. Gardner W. R. Calculation of capillary conductivity from porous plate outflow data. — Soil. Sci. Am. Proc., 1956, v. 20, N 3.
4. Бэр А., Заславски Д., Ирмей С. Физико-математические основы фильтрации воды. — М.: Мир, 1971.
5. Fokas A. S., Yortsos Y. C. On the exactly solvable equation $S_t' = [(\beta S + \gamma)^{-2} S_x']_x + \alpha (\beta S + \gamma)^{-2} S_x'$, occurring in the two-phase flow in porous media. — SIAM J. Appl. Math., 1982, v. 42, N 2.

Поступила 14/1 1986 г.

УДК 532.135 : 532.517.6

ЭКСПЕРИМЕНТАЛЬНОЕ ИССЛЕДОВАНИЕ ПУЛЬСИРУЮЩЕГО ТЕЧЕНИЯ РАСТВОРА ПОЛИМЕРА В КРУГЛОЙ ТРУБЕ

А. Н. Кекалов, В. И. Попов, Е. М. Хабахпашева

(Новосибирск)

Анализ пульсирующего режима течения ньютоновской жидкости [1] показывает, что при одинаковых средних градиентах давления пульсирующего и стационарного течений средний расход жидкости не меняется. Теоретико-экспериментальные исследования течения неньютоновской жидкости показали [2—11], что пульсации градиента давления приводят к изменению расхода по сравнению с ньютоновским случаем. Это изменение принято определять относительной величиной $I = Q_{\text{п}}/Q_{\text{с}} - 1$, где $Q_{\text{п}}$, $Q_{\text{с}}$ — средние расходы пульсирующего и стационарного течений.

Цель данной работы — изучение влияния параметров внешнего воздействия (частоты, амплитуды пульсаций и величины осредненного градиента давления) на относительное изменение расхода при пульсирующем режиме течения концентрированных растворов высокополимеров в круглой трубе.

Проведем критериальный анализ системы уравнений, описывающих пульсирующее течение вязкоупругой жидкости на участке установившегося течения. Уравнение движения с синусоидально меняющимся во вре-

мени градиентом давления безотносительно к роду жидкости имеет вид

$$(1) \quad \rho \frac{\partial u}{\partial t} = - \left(\frac{\partial p}{\partial z} \right)_c (1 + A \sin \omega t) + \frac{1}{r} \frac{\partial}{\partial r} (r\tau),$$

где A — амплитуда пульсаций; ω — частота пульсаций; ρ — плотность жидкости; u — скорость; $(\partial p / \partial z)_c$ — средний градиент давления. Воспользуемся выражением для касательного напряжения сдвига τ , следующим из структурно-феноменологической модели для нелинейно-вязкоупругой среды [12]:

$$(2) \quad \tau = \varepsilon \left[\langle x_r x_z \rangle + \frac{\alpha_w}{\kappa} (\langle x_r x_r \rangle + \langle x_z x_z \rangle) \frac{\partial u}{\partial r} \right];$$

$$(3) \quad \frac{\partial}{\partial t} \langle x_z x_z \rangle = \alpha \langle x_r x_z \rangle \frac{\partial u}{\partial r} - \frac{2}{\kappa} (\langle x_z x_z \rangle - 1),$$

$$\frac{\partial}{\partial t} \langle x_r x_r \rangle = 2 \langle x_r x_z \rangle \left(1 - \frac{\alpha}{2} \right) \frac{\partial u}{\partial r} - \frac{2}{\kappa} (\langle x_r x_r \rangle - 1),$$

$$\frac{\partial}{\partial t} \langle x_r x_z \rangle = - \frac{\alpha}{2} \langle x_r x_r \rangle \frac{\partial u}{\partial r} +$$

$$+ \langle x_z x_z \rangle \left(1 - \frac{\alpha}{2} \right) \frac{\partial u}{\partial r} - \frac{2}{\kappa} \langle x_r x_z \rangle.$$

Здесь ε — параметр высокоэластичности; κ — время релаксации; $\langle x_i x_j \rangle$ — моменты функции распределения узлов сетки полимера; α — кинетическая жесткость цепей полимера.

Введем безразмерные переменные: $t \rightarrow t/T$, $r \rightarrow r/R$, $\tau \rightarrow \tau/\tau_w$, $u \rightarrow u/V$, где $T = 2\pi/\omega$ — период пульсаций; R — радиус трубы; $\tau_w = 0,5R(\partial p / \partial z)_c$ — касательное напряжение сдвига на стенке для данного среднего градиента давления; $V = \tau_w R / \varepsilon_w \kappa_w$ — масштабная скорость стационарного течения. Если принять ε , κ , и α не зависящими от градиента скорости, то в безразмерном виде система уравнений (1)–(3) примет вид

$$(4) \quad \text{Re}_\omega \frac{\partial u}{\partial t} = 1 + A \sin 2\pi t + 0,5 \text{We}^{-1} r^{-1} \frac{\partial}{\partial r} (r\tau);$$

$$(5) \quad \tau = \langle x_r x_z \rangle + 0,25\alpha \text{We} (\langle x_r x_r \rangle + \langle x_z x_z \rangle) \frac{\partial u}{\partial r};$$

$$(6) \quad \text{De} \frac{\partial}{\partial t} \langle x_z x_z \rangle = \alpha \text{We} \frac{\partial u}{\partial r} \langle x_r x_z \rangle - 2 (\langle x_z x_z \rangle - 1),$$

$$\text{De} \frac{\partial}{\partial t} \langle x_r x_r \rangle = 2 \left(1 - \frac{\alpha}{2} \right) \text{We} \langle x_r x_z \rangle \frac{\partial u}{\partial r} - 2 (\langle x_r x_r \rangle - 1),$$

$$\text{De} \frac{\partial}{\partial t} \langle x_r x_z \rangle = - \frac{\alpha}{2} \text{We} \frac{\partial u}{\partial r} \langle x_r x_r \rangle +$$

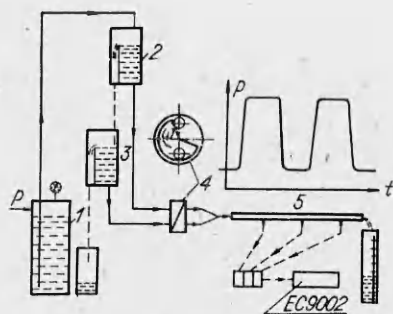
$$+ \left(1 - \frac{\alpha}{2} \right) \text{We} \frac{\partial u}{\partial r} \langle x_z x_z \rangle - 2 \langle x_r x_z \rangle.$$

Здесь комплекс $\text{Re}_\omega = \rho R^2 / 2T \varepsilon_w \kappa_w$ — отношение между временем прохождения сдвиговой волны поперек трубы и периодом пульсаций градиента давления (колебательное число Рейнольдса); комплекс $\text{We} = \tau_w / \varepsilon_w \equiv \kappa_w V / R$ — произведение времени релаксации на характерную скорость сдвига (число Вейссенберга); $\text{De} = \kappa_w / T$ — соотношение между характерным временем релаксации и периодом градиента давления (число Деборы).

Изменение параметров ε , κ и α по сечению трубы можно приближенно учесть в виде симплексов $\varepsilon_w / \varepsilon_0$, κ_w / κ_0 и α_w / α_0 , где индекс 0 означает величину параметра при $\tau \rightarrow 0$ (на оси трубы). Тогда относительное изменение расхода будет функцией следующих безразмерных параметров:

$$(7) \quad I = f(\text{Re}_\omega, \text{We}, \text{De}, A, \varepsilon_w / \varepsilon_0, \kappa_w / \kappa_0, \alpha_w / \alpha_0, \alpha_w).$$

Экспериментальная установка представляет собой разомкнутый контур (рис. 1). Раствор полимера из бака I под давлением подается в бачки



Р и с. 1

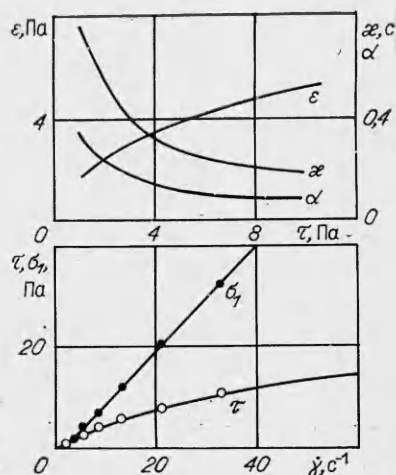
постоянного уровня 2, 3, затем в пульсатор 4, представляющий собой камеру с обтуратором. Из пульсатора раствор проходит в рабочий участок 5 — трубу диаметром 10 и длиной 1100 мм. Диапазон изменения осредненных градиентов давления $2000 < -(\partial p/\partial z)_c < 9000$ Па/м. Частота пульсаций $f = 1/T$ менялась в пределах $0,15 < f < 1,8$ Гц. Амплитуда пульсаций задавалась разницей высот между бачками.

Диапазон изменения амплитуды пульсаций $0,4 < A < 0,7$. Во всем диапазоне изменения внешних параметров форма пульсирующего сигнала давления $\partial p(i)/\partial z$ близка к прямоугольной (рис. 1).

Измерение пульсирующего и стационарного расходов осуществлялось объемным способом с погрешностью около 1%. Градиент давления в трубе определялся по значениям давления на стенке, измеренным тензометрическими датчиками, установленными по длине канала. Точность измерения абсолютного давления $\pm 0,2\%$ от номинального значения. Частотный рабочий диапазон датчиков давления от 0 до 7 Гц. Электрический сигнал с датчика давления через усилитель записывался на ленту магнитофона ЕС 9002. Информация с магнитной ленты обрабатывалась на ЭВМ.

В качестве рабочей жидкости в опытах использован 1%-ный раствор полиакриламида (ПАА) в воде. Реологические характеристики раствора измерены на ротационном приборе «Инстрон-3250». Величины ε , κ , α (рис. 2) определены по методике [12].

На рис. 3, 4 приведены экспериментальные результаты для установившегося пульсирующего режима течения раствора ПАА в круглой трубе. Линейный характер зависимости I от A^2 ранее определен теоретически [9—11] и подтвержден экспериментально до значения $A \leq 0,3$ [5—7]. Опыты показали (рис. 3), что это соотношение справедливо во всем диапазоне A , имевшем место в наших измерениях. Точки 1 на рис. 3 получены при $\tau_w = 10,8$ Па, а 2 — при $\tau_w = 12,8$ Па. На рис. 4, а — г представлены результаты измерения величины I/A^2 в зависимости от частоты пульсаций f , найденные при четырех различных значениях касательного напряжения. Характеризующие процесс течения безразмерные критерии для этих режимов, определенные при значениях касательного напряжения сдвига на стенке, представлены в таблице. Следует отметить, что, несмотря на значительные амплитуды пульсаций градиента давления и удовлетворительную точность измерения градиента давления и расхода жидкости, малость измеряемой величины разности расходов, входящей в определение I/A^2 , приводит к значительной погрешности в определении этой величины и разбросу экспериментальных данных.



Р и с. 2

Рис. 4	τ_w , Па	$100Re_\omega$	$10De$	We	Рис. 4	τ_w , Па	$100Re_\omega$	$10De$	We
а	6,8	0,2—2,1	0,3—4	1,47	а	10,8	0,2—2,4	0,2—2,6	1,73
б	9,5	0,2—2,3	0,3—3	1,67	б	12,8	0,2—2,5	0,2—2,5	1,82

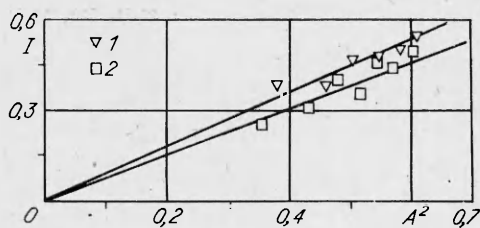


Рис. 3

Видно, что с повышением касательного напряжения сдвига (число Вейссенберга) имеет место увеличение расхода жидкости по сравнению с режимом стационарного течения. При этом слабая тенденция к снижению I/A^2 от частоты пульсаций градиента давления может быть обнаружена при $De = 0,3-0,4$ (рис. 4, а, б).

Результаты, представленные на рис. 4, д, получены для раствора ПАА, вязкость которого в ~ 4 раза ниже. Для частот, превышающих 1 Гц, величина I/A^2 заметно уменьшалась. При этом Re_ω увеличивалось до значений порядка 0,1. Возможно, что в этих условиях пульсационная сдвиговая волна не успевает проникнуть в ядро потока и влияние пульсаций на расход жидкости снижается. Расчет, проведенный для линейного закона текучести [11] (рис. 4, штриховые линии), подтверждает это предположение.

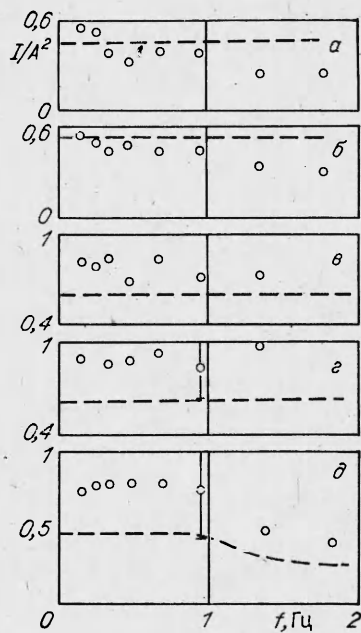


Рис. 4

ЛИТЕРАТУРА

1. Uchida S. The pulsating viscous flow superposed on the steady laminar motion of incompressible fluid in a circular pipe.— *Z. angew. Math. Phys.*, 1956, v. 7.
2. Edwards M. F., Nellist D. A., Wilkinson W. L. Pulsating flow of non-Newtonian fluids in pipes.— *Chem. Engng Sci.*, 1972, v. 27, N 3.
3. Sundstrom D. W., Kaufman A. Pulsating flow of polymer solutions.— *Ind. and Eng. Chem. Process Des. and Develop.*, 1977, v. 16, N 3.
4. Sicardi S., Baldi G., Gianetto A. Laminar pulsed flow of non-Newtonian fluids.— *Quaderni dell' ingegnere chimico italiano*, 1975, v. 11, N 7—8.
5. Barnes H. A., Townsend P., Walters K. On pulsatile flow of non-Newtonian liquids.— *Rheologica Acta*, 1971, v. 10, N 4.
6. Phan-Thien N., Dudek J. Pulsating flow revisited.— *J. non-Newtonian Fluid Mech.*, 1982, v. 11, N 1—2.
7. Mori N., Wakabayashi T. et al. Measurements of pulsating and oscillating flows of non-Newtonian fluids through concentric and eccentric cylinders.— *Rheologica Acta*, 1984, v. 23, N 5.
8. Хусид Б. М. Процессы конвективного переноса в нелинейных наследственных жидкостях с упругими свойствами.— В кн.: Тепло- и массообмен в полимерных системах и суспензиях. Минск: ИТМО АН БССР, 1984, ч. 1.
9. Шабунина З. А. Пульсирующие течения нелинейно-вязкоупругих жидкостей в соосноцилиндрических каналах.— В кн.: Прикладная механика и реофизика. Минск: ИТМО АН БССР, 1983.
10. Поздеев А. А., Шакиров Н. В. О пульсирующем течении упруговязких жидкостей.— В кн.: Новое в реологии полимеров. М.: ИНХС АН СССР, 1982, вып. 1.
11. Кекалов А. Н. Пульсирующее течение в трубе жидкости с линейным законом текучести.— В кн.: Гидродинамика одно- и двухфазных систем. Новосибирск: ИТФ СО АН СССР, 1982.
12. Кекалов А. Н., Попов В. И. Структурно-феноменологическая модель и некоторые результаты исследования характеристик течения концентрированных растворов высокополимеров.— *Изв. АН СССР. МЖГ*, 1984, № 1.

Поступила 19/XII 1985 г.